

清涼飲料水評価書(案)

トリクロロ酢酸

1

目次

2

	頁
<審議の経緯>	2
<食品安全委員会名簿>	2
要 約	5
I. 評価対象物質の概要	6
1. 用途	6
2. 一般名	6
3. 化学名	6
4. 分子式	6
5. 分子量	6
6. 構造式	6
7. 物理化学的性状	6
8. 現行規制等	7
II. 安全性に係る知見の概要	7
1. 毒性に関する科学的知見	7
(1) 体内動態	7
(2) 実験動物等への影響	10
(3) ヒトへの影響	25
2. 国際機関等の評価	25
3. 曝露状況	27
III. 食品健康影響評価	28
略号	33
<参照>	34

3

4

5

6

7

1 <審議の経緯>

2003年7月1日 厚生労働大臣より清涼飲料水中のトリクロロ酢酸の規格基準改正に係る食品健康影響評価について要請、関係書類の接受

2003年7月18日 第3回食品安全委員会（要請事項説明）

2010年8月6日 第7回化学物質・汚染物質専門調査会清涼飲料水部会

2

3 <食品安全委員会委員名簿>

(2006年6月30日まで)	(2006年12月20日まで)	(2009年6月30日まで)
寺田雅昭（委員長）	寺田雅昭（委員長）	見上 彪（委員長）
寺尾允男（委員長代理）	見上 彪（委員長代理）	小泉直子（委員長代理*）
小泉直子	小泉直子	長尾 拓
坂本元子	長尾 拓	野村一正
中村靖彦	野村一正	畑江敬子
本間清一	畑江敬子	廣瀬雅雄**
見上 彪	本間清一	本間清一

(2009年7月1日から)

小泉直子（委員長）
見上 彪（委員長代理***）
長尾 拓
野村一正
畑江敬子
廣瀬雅雄
村田容常

* : 2007年2月1日から
** : 2007年4月1日から
*** : 2009年7月9日から

4
5
6
7
8
9
10
11
12
13

1 <食品安全委員会汚染物質・化学物質専門調査会合同ワーキンググループ
2 専門委員名簿>

(2007年3月31日まで)

汚染物質専門調査会

安藤 正典
佐藤 洋 (座長)
千葉 百子
広瀬 明彦
前川 昭彦

化学物質専門調査会

太田 敏博
立松 正衛 (座長代理)
廣瀬 雅雄

(2007年9月30日まで)

汚染物質専門調査会

安藤 正典
佐藤 洋 (座長)
千葉 百子
広瀬 明彦
前川 昭彦

化学物質専門調査会

太田 敏博
渋谷 淳
立松 正衛 (座長代理)

3

4

5 <食品安全委員会化学物質・汚染物質専門調査会専門委員名簿>

(2007年10月1日から)

佐藤 洋 (座長)
立松正衛 (座長代理)

6

阿部宏喜
安藤正典*
井口 弘
圓藤吟史*
圓藤陽子*
太田敏博*
大前和幸
奥田晴宏

香山不二雄
川村 孝
河野公一
佐々木久美子
渋谷 淳*
千葉百子**
津金昌一郎

遠山千春*
永沼 章
長谷川隆一**
広瀬明彦*
前川昭彦*
安井明美
鰐淵英機

* : 幹事会

* : 清涼飲料水部会

7

8

9

10

11

12

13

14

1 <食品安全委員会化学物質・汚染物質専門調査会専門委員名簿>

(2009年10月1日から)

佐藤 洋 (座長)

立松正衛 (座長代理)

2

青木康展*

白井智之

村田勝敬

安藤正典*

津金昌一郎

安井明美

圓藤吟史※

寺本敬子

山内 博

圓藤陽子*

遠山千春

山中健三

太田敏博**

中室克彦*

吉永 淳

川村 孝

長谷川隆一**

鰐淵英機

熊谷嘉人*

花岡研一

渋谷 淳**

広瀬明彦*

※：幹事会

*：清涼飲料水部会

3

4

5

要 約

清涼飲料水の規格基準改正に係る化学物質として、トリクロロ酢酸の食品健康影響評価を行った。

評価に用いた試験成績は、急性毒性試験（マウス、ラット）、亜急性毒性試験（マウス、ラット）、慢性毒性試験及び発がん性試験（マウス、ラット）、生殖・発生毒性試験（ラット）、遺伝毒性試験等である。

遺伝毒性については、*in vitro* 試験は陰性と判断された。また、*in vivo* 試験では小核試験で陰性・陽性の相反する結果が報告されているが、陰性のほうがより信頼性が高いと考えられた。*in vitro* 試験において DNA との明らかな反応性が検出されていないことを考え合わせると、トリクロロ酢酸が遺伝毒性を有する可能性は極めて低いと考えられる。

以上のことから、トリクロロ酢酸は、非発がん毒性に関する耐容一日摂取量（TDI）を設定することが適切であると判断された。

トリクロロ酢酸の非発がん毒性に関する TDI については、マウスにおける 104 週間で見られた肝臓の腫瘍発生頻度及び腫瘍発生個数の上昇、肝パルミトイルCoA酸化酵素活性の増加、非増殖性肝病変の発生頻度及び重篤度の上昇であり、LOAEL が 58 mg/kg 体重/日、NOAEL が 6 mg/kg 体重/日であった。この NOAEL に基づいて、不確実係数 1,000（種差 10、個体差 10、生殖・発生毒性試験に関するデータ不足及び発がん性の可能性について 10）を適用して、TCA の TDI を 6 μ g/kg 体重/日となった。

以上、トリクロロ酢酸の TDI を 6 μ g/kg 体重/日と設定した。

1 **I. 評価対象物質の概要**

2 **1. 用途**

3 医薬品の原料、除草剤、腐食剤、角質溶解剤、塗装剥離剤、除タンパク剤、生
4 体内タンパク・脂質の分画剤として使用される。

5 水道においては、トリクロロ酢酸などのハロゲン化酢酸類は、水道原水中の有
6 機物質や臭素及び消毒剤（塩素）とが反応し生成される消毒副生成物質の一つで
7 ある（参照1）。

8

9 **2. 一般名**

10 トリクロロ酢酸

11

12 **3. 化学名**

13 IUPAC

14 和名：トリクロロ酢酸

15 英名：2,2,2-trichloroacetic acid

16 CAS No.：76-03-9

17

18 **4. 分子式**

19 $C_2HCl_3O_2 / CCl_3COOH$

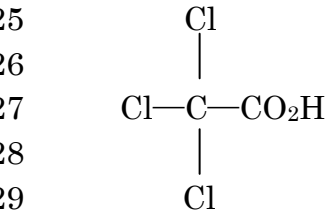
20

21 **5. 分子量**

22 163.4

23

24 **6. 構造式**



30

31 **7. 物理化学的性状**

32 刺激臭のある無色で吸湿性の結晶

33 沸点（℃）：198

34 融点（℃）：58

35 密度（g/cm³）：1.6

36 水への溶解性：非常によく溶ける

37 水オクタノール分配係数（log Pow）：1.7

38 蒸気圧（Pa（51℃））：133

39 その他（相対蒸気密度（空気=1））：5.6

40

8. 現行規制等

(1) 法令の規制値等

水質基準値 (mg/L) : 0.2

水質管理目標値 (mg/L) : なし

環境基準値 (mg/L) : なし

要監視項目指針値 (mg/L) : なし

その他基準：給水装置の構造及び材質の基準 なし

労働安全衛生法；作業環境評価基準 なし

(2) 諸外国等の水質基準値又はガイドライン値

WHO (mg/L) : 0.2 (第3版 一次及び二次追補 包括版)

EU (mg/L) : なし

US EPA (mg/L) : ハロ酢酸類 5種の和として 0.06 (Maximum Contaminant Level)

欧州大気質ガイドライン (参照2) : なし

II. 安全性に係る知見の概要

WHO 飲料水水質ガイドライン、EPA/IRIS のリスト、IARC のモノグラフ等を基に、毒性に関する主な科学的知見を整理した (参照 3~7)。

1. 毒性に関する科学的知見

(1) 体内動態

① 吸収

トリクロロ酢酸はラットでは消化管から (参照 8)、ヒトでは経皮及び経口経路の両方で急速に吸収される (参照 9)。

② 分布

経口投与で吸収されたトリクロロ酢酸 (TCA) の血液分析に基づくと、全身の組織へ分布している可能性がある。組織への分布は時間依存性がみられ、¹⁴C 標識 TCA のラットへの静脈内投与では、最高濃度は投与後最初の 3 時間に、血漿、腎臓、肝臓の順にみられる。しかし、投与後 24 時間では肝臓の放射活性は血漿のそれ以上となった。肝臓からの排出速度が血漿に比べて低いことを反映していると推測される。他の組織の放射活性は中間レベルにあり、脂肪で最小であった (参照 10)。

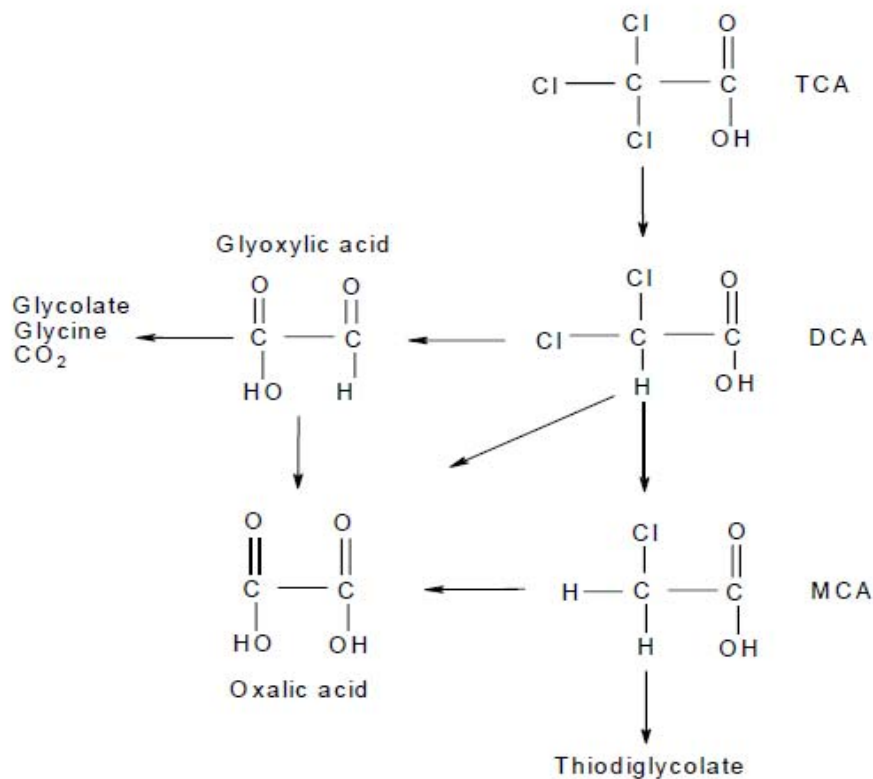
ラットへの経口及び静脈内投与では、TCA は血漿タンパク質とかなりの割合で結合することが明らかであり、血漿から組織への TCA の分配に関する重要な決定要因と推察される (参照 9、10、11)。血漿中の未結合比率は 0.53 であり、血液/血漿濃度比 0.76 を考慮すると、血液に分布する TCA のほとんどは、組織への取込や分布に利用されることが示唆される (参照 8)。*in vitro* によるマウス、ラット、ヒトでの TCA の血漿結合性の検討によると、ヒトでの血漿結合性は、マウスの最大

1 24倍、ラットの2.5倍であり、ラットでの血漿結合性はマウスの10倍としている。
2 *in vitro* の検討ではあるが、血漿結合性の違いが、TCAがマウスで腫瘍を誘発し、
3 ラットで誘発しない原因の一つと推察される(参照12)。ヒトの組織におけるTCA
4 分布を実証する検討はないが、塩素系溶媒や抱水クロラールにヒトが経口曝露され
5 た時、血液及び尿中にTCAがみられることから、これら塩素系物質の代謝物とし
6 て全身に分布していることを示唆している(参照5)。

7 8 ③ 代謝

9 TCAは容易には代謝されず、比較的少量のTCAが肝臓中で代謝される。¹⁴C標
10 識TCA(20又は100mg/kg体重)をラット及びマウスに経口投与すると、二酸化
11 炭素、グリオキシル酸、シュウ酸、グリコール酸、ジクロロ酢酸(DCA)の生成が
12 認められ、著者らは、TCAが還元的脱ハロゲン化によりDCAに代謝されるとした
13 (参照13)。さらに、DCAが還元的脱ハロゲン化によりクロロ酢酸になり、最終
14 的にチオジグリコール酸となる代謝経路が提案されている(参照14)。しかし、他
15 の研究者らは、以前の研究はDCAへの代謝が過大報告されている可能性があるとし
16 ている(参照15)。¹⁴C標識TCAのラットへの静脈内投与における、血漿、尿、
17 肝臓ホモジネートの高速液体クロマトグラフィ(HPLC)分析では、シュウ酸、グ
18 リオキサール酸、グリコール酸、DCAはいずれも検出されず、ラットではTCAがあ
19 まり代謝されないことが示唆された(参照10)。

20 考えられるTCAの代謝経路を図に示す(参照14、15)。



24 図 TCA の代謝経路 (参照 14、15)

25 TCA: トリクロロ酢酸 DCA: ジクロロ酢酸 MCA: クロロ酢酸

26
27 **④ 排泄**

28 排泄の主なルートは、尿を介している (参照 8、10、11)。¹⁴C 標識 TCA のラッ
29 トへの静脈内投与では、投与された放射活性の最大 84% が 24 時間以内に尿中に排
30 泄された (参照 10)。ラットへの TCA の単回静脈内投与では、血中からの TCA
31 クリアランスの 46% は腎クリアランスによるものであり、糞への排泄は無視できる
32 程度であった。代謝が最小限であることを考慮すると、著者らは投与された TCA
33 の残る 54% は、組織の取り込みによって血中から排出されたとしている。この試験
34 での TCA の半減期は 8 時間であった (参照 8)。

35 尿以外の排泄ルートでの定量的なデータはないが、尿はヒトでも TCA 排泄の重
36 要なルートである。ヒトでのデータは限られているものの、ヒト排泄速度はルート
37 及び用量に依存する可能性を示唆している。テトラクロロエチレン (代謝されて
38 TCA になる) の吸入に関する研究では、ヒトにおける TCA の尿からの平均排泄半
39 減期は 45.6 時間であり、ラットの 11.0 時間と比較すると、ヒトの排泄はラットよ
40 り遅いことが示唆される。しかし、これらの相違はテトラクロロエチレンの代謝の

1 違いによる可能性もある（参照 16）。一方、ヒトでの早い尿クリアランスが、プー
2 ル水からの TCA の 30 分間経皮吸収に基づく低用量曝露で報告されている（参照 9）。

3 4 (2) 実験動物等への影響

5 ① 急性毒性試験

6 TCA のラット及びマウスにおける経口 LD₅₀ は、それぞれ 3,320 mg/kg 体重及び
7 4,970 mg/kg 体重である。投与された動物は、直ちに昏睡又は半昏睡状態に陥り、
8 36 時間以内には、完全に回復するか昏睡状態のまま死に至るかのどちらかであった
9 （参照 17）。

10 11 ② 亜急性毒性試験

12 a. 10 日間亜急性毒性試験（マウス及びラット）

13 B6C3F₁ マウス（雄 8 匹）及び F344 系ラット（雄 6 匹）における TCA（500 mg/kg
14 体重/日）の 10 日間強制経口投与試験が行われた。認められた毒性所見を表 1 に
15 示す。

16 両動物種とも、肝相対重量及びシアン化物非感受性パルミトイル CoA 酸化酵素
17 活性の上昇が認められた（参照 18）。

18 WHO は、この試験における肝臓に対する影響から、LOAEL をラット及びマ
19 ウスともに 500 mg/kg 体重/日とした（参照 3）。

20
21 表 1 マウス及びラット 10 日間亜急性毒性試験

投与群	雄
500 mg/kg 体重/日	肝相対重量の増加、シアン化物非感受性パルミトイル CoA 酸化酵素活性の上昇

22 23 b. 11 日間亜急性毒性試験（マウス）

24 B6C3F₁ マウス（雌雄、各投与群 5 匹）における TCA（0、100、250、500、
25 1,000 mg/kg 体重/日、溶媒：コーンオイル）の 11 日間強制経口投与試験が行わ
26 れた。各投与群で認められた毒性所見を表 2 に示す。

27 全投与群で統計学的に有意な肝重量増加がみられたが、用量依存性はなかった。
28 用量依存性の肝細胞増殖が、雄は 100 mg/kg 体重/日以上、雌は 250 mg/kg 体重/
29 日以上でみられた（参照 19）。

30 EPA は、肝重量増加、肝細胞増殖から LOAEL を 100 mg/kg 体重/日とした（参
31 照 5）。

1
2

表2 マウス 11 日間亜急性毒性試験

投与群	雄	雌
250 mg/kg 体重/日以上		肝細胞増殖増加
100 mg/kg 体重/日以上	肝重量増加、肝細胞増殖増加	肝重量増加

3

4 **c. 14 日間亜急性毒性試験 (マウス)**

5 B6C3F₁ マウス (雄、各投与群 6 匹) における TCA (0、250 mg/kg 体重/日)

6 の 14 日間飲水投与試験が行われた。認められた毒性所見を表 3 に示す。

7 250 mg/kg 体重/日群で、肝重量増加、ペルオキシソーム増殖の指標の上昇がみ
8 られた (参照 20)。

9 EPA は、この影響から LOAEL を 250 mg/kg 体重/日とした (参照 5)。

10

11

表3 マウス 14 日間亜急性毒性試験

投与群	雄
250 mg/kg 体重/日	肝重量増加、ペルオキシソーム増殖の指標の上昇

12

13

14 **d. 14 日間亜急性毒性試験 (マウス)**

15 B6C3F₁ マウス (雄、各投与群 12 匹) における TCA (0、0.3、1.0、2.0 g/L :

16 0、75、250、500 mg/kg 体重/日) の 14 日間飲水投与試験が行われた。各投与群
17 で認められた毒性所見を表 4 に示す。

18 肝重量の用量依存的増加が 0.3 g/L 以上の投与群で認められ、1.0 g/L 以上の投
19 与群では統計的に有意であった (参照 21)。

20 これらの影響に基づき、WHO は、NOAEL を 75 mg/kg 体重/日とした (参照
21 3)。

22

23

表4 マウス 14 日間亜急性毒性試験

投与群	雄
1.0 g/L (250 mg/kg 体重/日) 以上	統計学的に有意な肝重量増加
0.3 g/L (75 mg/kg 体重/日)	用量依存的な肝重量増加

24

25

26 **e. 3 週間又は 10 週間亜急性毒性試験 (マウス)**

27 B6C3F₁ マウス (雄、各投与群 6 匹) における TCA (0、0.1、0.5、2.0 g/L : 0、
28 25、125、500 mg/kg 体重/日) の 3 又は 10 週間飲水投与試験が行われ、肝臓で
29 の酸化的 DNA 損傷が評価された。各投与群で認められた毒性所見を表 5 に示す。

30 3 週間後、肝重量は 2 つの高濃度投与群で増加し、ラウリン酸の 12 位水酸化も

1 増加していた。10 週間後、2 つの高濃度投与群での肝臓の絶対及び相対重量の増
2 加、シアン化物非感受性パルミトイル CoA 酸化酵素活性の用量依存的な上昇、ラ
3 ウリン酸の 12 位水酸化の増加、ペルオキシソーム増殖指標の上昇が認められた
4 (参照 22)。

5 WHO は、これらの肝臓での影響に基づき NOAEL を 25 mg/kg 体重/日とした
6 (参照 3)。EPA は肝重量の増加及びペルオキシソーム増殖の増加から、LOAEL
7 を 125 mg/kg 体重/日、NOAEL を 25 mg/kg 体重/日とした (参照 5)。
8

9 表 5 マウス 3 週間又は 10 週間亜急性毒性試験

投与群	雄
0.5 g/L (125 mg/kg 体重/日) 以上 (3 週間)	肝重量増加、ラウリン酸の 12 位水酸化増加
0.5 g/L (125 mg/kg 体重/日) 以上 (10 週間)	肝絶対及び相対重量増加、シアン化物非感受性パルミト イル CoA 酸化酵素活性の用量依存的な上昇、ラウリン酸 の 12 位水酸化の増加、ペルオキシソーム増殖指標の上昇

10
11 **f. 10、20、30 日間亜急性毒性試験 (ラット)**

12 Sprague-Dawley ラット (雄、6 匹) における TCA の 5 g/L (約 312 mg/kg 体
13 重/日) の 10、20、30 日間飲水投与試験が行われた。認められた毒性所見を表 6
14 に示す。

15 5 g/L 群で TCA に起因する体重、臓器重量、解剖学的検査及び病理組織学的検
16 査における変化は認められなかった (参照 23)。

17 WHO は、この試験における NOAEL を 312 mg/kg 体重/日とした (参照 3)。
18

19
20 表 6 ラット 10、20、30 日間亜急性毒性試験

投与群	雄
5 g/L (約 312 mg/kg 体重/日)	体重、臓器重量、解剖学的検査及び病理組織学的検査に おける変化なし

21
22 **g. 52 日間亜急性毒性試験 (ラット)**

23 Sprague-Dawley ラット (雌、6 匹) における TCA (致死未満量 2,000 ppm)
24 の 52 日間経口投与試験が行われ、血液毒性及び肝毒性が検討された。認められ
25 た毒性所見を表 7 に示す。

26 2,000 ppm 投与で肝損傷バイオマーカーである血中ビリルビンの有意な増加、
27 タンパク質及びコレステロールの減少がみられ、また、赤血球数、平均赤血球容
28 積、平均赤血球ヘモグロビン、平均赤血球ヘモグロビン濃度、ヘモグロビン及び
29 ヘマトクリット値の有意な増加、血小板数の減少がみられ、TCA の致死未満量

2,000 ppm でのラットの亜急性曝露は肝臓傷害及び血液への影響をもたらすと結論した（参照 24）。

表 7 ラット 52 日間亜急性毒性試験

投与群	雌
2,000 ppm (100 mg/kg 体重/日)	血中ビリルビンの増加、タンパク質及びコレステロールの減少、赤血球数、平均赤血球容積、平均赤血球ヘモグロビン、平均赤血球ヘモグロビン濃度、ヘモグロビン及びヘマトクリット値の増加、血小板数の減少

h. 10 週間亜急性毒性試験（ラット）

Wistar ラット（雄、各投与群 5~6 匹）における TCA（0、0.025 g/L : 0、3.8 mg/kg 体重/日）の 10 週間飲水投与試験が行われた。認められた毒性所見を表 8 に示す。

体重の減少、血清脂質及び炭水化物の代謝マーカーの変化（コハク酸デヒドロゲナーゼ活性の上昇、グリコーゲン蓄積の増加、肝トリグリセリド及びコレステロール値の低下）及び腎グルタチオン値の減少が認められた。肝臓の相対重量、血清中の肝臓の酵素活性及び肝臓のグルタチオン値に変化は認められなかった（参照 25）。病理組織学的変化を調べるための追加試験が同様の試験プロトコール及び濃度で実施され、肝臓では、小葉中心性の肝細胞壊死、小葉構造の消失、肝細胞肥大、腎臓では、尿細管上皮の変性、巨大核の出現、細胞増殖の亢進、ポーマン囊基底膜の変性、糸球体の拡大・空胞変性を認めた（参照 26）。

WHO 及び EPA は、これらの影響に基づき、LOAEL を 3.8 mg/kg 体重/日とした（参照 3、5）。

表 8 ラット 10 週間亜急性毒性試験

投与群	雄
0.025 g/L (3.8 mg/kg 体重/日)	体重の減少、血清脂質及び炭水化物代謝マーカーの変化（コハク酸デヒドロゲナーゼの上昇、グリコーゲン蓄積の増加、肝トリグリセリド及びコレステロール値の低下）及び腎グルタチオン値の減少

i. 90 日間亜急性毒性試験（ラット）

Sprague-Dawley ラット（雄、各投与群 10 匹）における TCA（0、0.05、0.5、5.0 g/L : 0、4.1、36.5、355 mg/kg 体重/日）の 90 日間飲水投与試験が行われた。認められた毒性所見を表 9 に示す。

355 mg/kg 体重/日投与群で、体重増加抑制、脾臓の絶対重量の減少、肝臓及び腎臓の相対重量の増加、肝細胞腫大、肝臓へのグリコーゲン蓄積、肝ペルオキシソーム β 酸化活性の上昇が認められた（参照 27）。

WHO は、この試験における NOAEL を 36.5 mg/kg 体重/日とした（参照 3）。

1

表9 ラット 90 日間亜急性毒性試験

投与群	雄
5.0 g/L (355 mg/kg 体重/日)	体重増加抑制、脾臓の絶対重量の減少、肝臓及び腎臓の相対重量の増加、肝細胞腫大、肝臓へのグリコーゲン蓄積、肝ペルオキシソームβ酸化活性の上昇

2

3

③ 慢性毒性試験及び発がん性試験

4

a. 37 週間又は 52 週間慢性毒性／発がん性併合試験（マウス）

5

6

7

8

9

B6C3F₁ マウス（各投与群：雄 11～35 匹、雌 10 匹）における TCA（雄；0、1.0、2.0 g/L：0、164、329 mg/kg 体重/日¹、雌；0、2.0 g/L：0、329 mg/kg 体重/日）の 52 週間飲水投与試験が行われた。また、雄マウス（11 匹）における TCA（2.0 g/L：309 mg/kg 体重/日）の 37 週間飲水投与試験が行われた。各投与群で認められた毒性所見を表 10、11 に示す。

10

11

12

37 週間では、雄の 2.0 g/L 投与群で有意な肝臓の絶対及び相対重量の増加がみられた。肝腫瘍（肝細胞腺腫及び肝細胞癌）の発生頻度は各 0/11 匹、3/11 匹であった。

13

14

15

16

17

18

19

20

21

表 10 マウス 37 週間慢性毒性／発がん性併合試験

投与群	雄
2.0 g/L (309 mg/kg 体重/日)	肝臓の絶対及び相対重量増加、腫瘍発生頻度の増加（有意ではない）

22

23

表 11 マウス 52 週間慢性毒性／発がん性併合試験

投与群	雄	雌
2.0 g/L (329 mg/kg 体重/日)	肝臓の絶対及び相対重量増加、肝臓の巨大細胞、グリコーゲン蓄積	
1.0 g/L (164 mg/kg 体重/日)	肝臓の絶対及び相対重量増加、腫瘍発生頻度の増加（有意ではない）	

24

25

26

b. 51 週間又は 82 週間慢性毒性／発がん性併合試験（マウス）

B6C3F₁ マウス（雌、各投与群 93、46、38 匹）における TCA（0、2.0、6.67、

¹ 投与量換算値は EPA:IRIS（参照 6）を使用した。

20.0 nmol/L ; 0, 0.3, 1.1, 3.3 g/L : 0, 78, 262, 784 mg/kg 体重/日) の 51 又は 82 週間飲水投与試験が行われた。各投与群で認められた毒性所見を表 12 に示す。

82 週間で投与量 262 mg/kg 体重/日以上以上の投与群で肝臓の相対重量の有意な増加が認められた。また、投与開始後 51 週の 784 mg/kg 体重/日投与群では、25% の動物に肝細胞癌が認められたが、他の群では全く認められなかった。投与開始後 82 週の 784 mg/kg 体重/日投与群では、変異肝細胞巣、肝細胞腺腫及び肝細胞癌の発生頻度が有意に上昇し、262 mg/kg 体重/日投与群でも変異肝細胞巣及び肝細胞癌が有意に上昇した。これらの病変部位を染色すると、大部分が好塩基性、又は好塩基性と好酸性の混合であった。(参照 30)。

WHO は、これに基づき NOAEL を 78 mg/kg 体重/日とした(参照 3)。EPA は、肝臓の相対重量の増加から 82 週間の LOAEL を 262 mg/kg 体重/日、NOAEL を 78 mg/kg 体重/日とした(参照 5)。

表 12 マウス 51 週間又は 82 週間慢性毒性／発がん性併合試験

投与群	雌
20.0 nmol/L (784 mg/kg 体重/日) (51 週)	25%の動物に肝細胞癌
6.67 nmol/L 以上 (262 mg/kg 体重/日) (82 週)	肝臓の相対重量の増加、変異肝細胞巣及び肝細胞癌が有意に上昇

c. 60 週間又は 104 週間慢性毒性／発がん性併合試験 (マウス)

B6C3F₁ マウス (雄) における TCA の 60 週間飲水投与試験又は 104 週間 (2 ケース) 飲水投与試験 (2 試験) が行われ、腫瘍発生頻度及び動物当たりの腫瘍発生個数が求められた。投与量は、60 週間では 0.05, 0.5, 5 g/L (8, 68, 602 mg/kg 体重/日、各投与群 50 匹)、104 週間では 4.5 g/L (572 mg/kg 体重/日、58 匹) 及び 0.05, 0.5 g/L (6, 58 mg/kg 体重/日、各投与群 72 匹) である。各投与群で認められた毒性所見を表 13, 14 に示す。

0.5 g/L (60 週及び 104 週)、4.5 g/L (104 週)、5 g/L (60 週) 投与群で、有意な腫瘍発生頻度及び動物当たりの腫瘍発生個数の増加がみられた。ペルオキシソーム増殖の指標である肝パルミトイル CoA 酸化酵素活性の増加がみられ、ペルオキシソーム増殖と腫瘍誘導には線形相関性があった。

60 週間投与では、体重は、5 g/L 投与群での 15%減少 (対照群比) を除けば顕著な減少はなかった。肝臓の絶対及び相対重量は、30 週後の 0.5 g/L 投与群を除き、0.5, 5 g/L 投与群で増加した。

104 週間投与では、いずれの投与群でも体重、肝絶対重量に変化はみられず、肝相対重量は 4.5 g/L 投与群でのみ 15, 30, 35 週に増加した。

60 週間投与の肝臓でみられた非増殖性病変は、小葉中心性肝細胞変性、炎症、肝細胞壊死等の発生頻度及び重篤度の上昇であった。小葉中心性肝細胞変性は、発生頻度が 21~93%、重篤度は最小から軽度であったが、最もよく見られる変化

1 であり、発生頻度及び重篤度は全投与群で有意に上昇した。しかし、用量と重篤
 2 度は必ずしも線形関係になかった。炎症発生頻度は 5 g/L 投与群で有意に上昇し
 3 したが、0.05、0.5 g/L 投与群は有意に低く、重篤度は変化しなかった。壊死は 0.5、
 4 5 g/L 投与群の 30 週と 45 週の間にみられ、60 週で弱まった。用量依存性がみら
 5 れたが、重篤度の有意な増加は 5 g/L 投与群でのみみられた。

6 104 週間の 0.5、4.5 g/L 投与群での非増殖性肝病変の発生頻度及び重篤度は 60
 7 週間投与と同程度であった。

8 肝臓以外では、60 週間投与の 0.5、5 g/L 投与群で有意な用量依存性の精細管
 9 の変性のみがみられた。

10 著者らは、TCA 及びその代謝物が遺伝毒性を示すとする強い証拠がないことか
 11 ら、TCA の作用機序はエピジェネティックなものであるとし、腫瘍性及び非増殖
 12 性肝病変に関して NOAEL を 6 mg/kg 体重/日とした（参照 31）。

14 表 13 マウス 60 週間慢性毒性／発がん性併合試験

投与群	雄
5 g/L (602 mg/kg 体重/日)	肝臓の炎症発生頻度及び重篤度の上昇
0.5 g/L (68 mg/kg 体重/日) 以上	肝臓の絶対及び相対重量の増加、腫瘍発生頻度及び腫瘍発生個数の上昇、肝細胞壊死の重篤度の上昇、肝パルミトイル CoA 酸化酵素活性の増加、精細管の変性
0.05 g/L (8 mg/kg 体重/日) 以上	肝臓の小葉中心性肝細胞変性の発生頻度及び重篤度の上昇

16 表 14 マウス 104 週間慢性毒性／発がん性併合試験

投与群	雄
0.5 g/L (58 mg/kg 体重/日) 以上	腫瘍発生頻度及び腫瘍発生個数の上昇、肝パルミトイル CoA 酸化酵素活性の増加、非増殖性肝病変の発生頻度及び重篤度の上昇

17
 18 **d. 104 週間（2 年間）慢性毒性／発がん性併合試験（ラット）**

19 F344 ラット（雄、各投与群 50 匹）における TCA（0、0.05、0.5、5.0 g/L：0、
 20 3.6、32.5、364 mg/kg 体重/日）の 2 年間（104 週間）飲水投与試験が行われた。
 21 認められた毒性所見を表 15 に示す。

22 364 mg/kg 体重/日投与群で、有意な体重減少、肝臓の絶対重量の減少（相対重
 23 量は減少なし）、アラニン-アミノ基転移酵素活性の上昇、シアン化物非感受性パ
 24 ルミトイル CoA 酸化酵素活性の上昇、肝細胞壊死の重篤度の上昇が認められた。
 25 腎臓、脾臓、精巣の重量に変化は認められなかった。放射性ラベルしたチミジンの
 26 取込みの測定では、肝細胞増殖亢進の証拠は認められなかった。32.5 mg/kg 体
 27 重/日投与群では、アスパラギン酸-アミノ基転移酵素活性の用量依存性のない有

1 意な減少が認められたが、著者らは、この影響は有害影響を反映したものではないと
2 した。これら非腫瘍性影響に基づき、NOAEL を 32.5 mg/kg 体重/日とした
3 (参照 32)。

4 また、EPA は、有意な体重減少、わずかな組織病理学的変化、アラニン-アミ
5 ノ基転移酵素活性の上昇から、LOAEL を 364 mg/kg 体重/日、NOAEL を 32.5
6 mg/kg 体重/日とした (参照 5)。

7
8 表 15 ラット 2 年間慢性毒性/発がん性併合試験

投与群	雄
5.0 g/L (364 mg/kg 体重/日)	体重減少、肝臓の絶対重量の減少、アラニン-アミノ基転移酵素活 性の上昇、シアン化物非感受性パルミトイル CoA 酸化酵素活性の 上昇、肝細胞壊死の重篤度の上昇

9
10 e. 52 週間慢性毒性試験 (マウス)

11 B6C3F₁ マウス (雄、各投与群 20 匹) における DCA、TCA 及び混合物 (DCA :
12 0.1、0.5、2.0 g/L ; TCA : 0.5、2.0 g/L) の 52 週間飲水投与試験が行われた。TCA
13 の各投与群で認められた毒性所見を表 16 に示す。

14 TCA では肝腫瘍 (肝細胞腺腫及び肝細胞癌) の発生頻度が、どの投与群でも有
15 意に上昇していた。DCA との混合物投与群では肝細胞癌の発生頻度に対して相加
16 作用を生じるようであった (参照 33)。

17
18 [参考]

19 Vinyl carbamate の単回投与 (3 mg/kg) でイニシエートされた B6C3F₁ マウ
20 ス (雄) に、DCA、TCA (0.1、0.5、2 g/L : 25、125、500 mg/kg 体重/日)、あ
21 るいは四塩化炭素 (20、50、100 mg/L) を 2 剤ずつ組合せて最大 36 週間飲水投
22 与し、プロモーター作用の相互作用について検討する試験では、剤及び用量の組
23 合せ及び投与期間により複雑な相互作用が見られたが、相加作用を超えるような
24 相互作用は認められなかった (参照 34)。

25
26 表 16 マウス 52 週間慢性毒性試験

投与群	雄
2 g/L	肝腫瘍 (肝細胞腺腫及び肝細胞癌) の発生頻度の上昇 (9/20 匹)、 一匹あたりの肝腫瘍発生個数 0.60 ±0.18
0.5 g/L	肝腫瘍 (肝細胞腺腫及び肝細胞癌) の発生頻度の上昇 (11/20 匹)、 一匹あたりの肝腫瘍発生個数 0.70 ±0.16

27
28 f. 60 週間又は 94 週間慢性毒性試験 (マウス)

29 B6C3F₁ マウス (雄、各投与群 50 匹) における TCA (0、0.05、0.5、5 g/L : 0、
30 8、71、595 mg/kg 体重/日) の 60 週間飲水投与試験が行われた。各投与群で認

められた毒性所見を表 17 に示す。

2 つの高濃度投与群で、肝腫瘍（肝細胞腺腫及び肝細胞癌）の発生頻度が対照群に比べ有意に増加した（対照群 13.3%、71 mg/kg 体重/日投与群 37.9%、595 mg/kg 体重/日群 55.2%）。

B6C3F₁ マウス（雄 50 匹、雌 55 匹）を用いた 4.5 g/L（583 mg/kg 体重/日）での 94 週間の飲水投与試験においても、肝腫瘍の発生頻度の有意な上昇が認められた（参照 35）。

表 17 マウス 60 週間又は 94 週間慢性毒性試験

投与群	雄
0.5 g/L (71 mg/kg 体重/日) 以上 (60 週間)	肝腫瘍（肝細胞腺腫及び肝細胞癌）の発生頻度の上昇
4.5 g/L (583 mg/kg 体重/日) (94 週間)	肝腫瘍（肝細胞腺腫及び肝細胞癌）の発生頻度の上昇

〔参考〕

腹腔内投与試験

B6C3F₁ マウス新生児（雌雄、各投与群 12 匹）に TCA（合計 1,000 又は 2,000 nmol）を腹腔内投与（8 日及び 15 日齢の 2 回に分けて投与）し、高投与群については 12 か月間、低投与群については 20 か月間観察し肝腫瘍の発生状況を調べる試験が行われた。

いずれの投与群でも有意な肝腫瘍発生頻度の増加はみられなかった。高投与群及び低投与群の 4 匹の雄（17%）で腺腫、低投与群の 1 匹の雄（4%）で癌腫がみられたが、雌では腫瘍はみられなかった。

フリーラジカル及び脂質過酸化反応と関連する付加体の存在を肝臓 DNA で調べたところ、高投与群の雄において 15 日齢投与後の 24、48 時間、7 日で 8-oxo-2'-deoxyguanosine（8-OHdG）付加体の有意な増加がみられ、また、マロンジアルデヒド起因グアニン付加体（Malondialdehyde-associated guanine adducts）の増加が高投与群の雄において 15 日齢投与後の 24、48 時間でみられたが、7 日ではみられなかった。

著者らはフリーラジカル生成能を種々の物質で検討し、マウス新生児は酸化ストレスを生じる物質に高感度ではないと結論し、この試験で TCA により肝発がんがみられなかったのは、用量が低く投与時期が 8 及び 15 日齢であったことによる可能性があるとしている。また、TCA により細胞増殖が高まったとしても、出生初期の肝成長期に生じる細胞増殖に比較すると小さいため、この時期においては間接的発がん物質としての TCA の作用は小さいであろうとしている（参照 36）。

1 発がんの機序

2 TCA は B6C3F₁ マウスに肝腫瘍を引き起こす。TCA によるマウス肝発がん機
3 序に関しては、遺伝毒性、細胞増殖の変更（正常細胞の増殖阻害及び特定細胞の
4 増殖）の点から検討されており、後者の機序として、ペルオキシソーム増殖、DNA
5 の低メチル化、細胞間連絡の低下が検討されている（参照 5）。

6
7 TCA により誘発された雄 B6C3F₁ マウスの肝腫瘍では、K-及び H-*ras* プロト
8 オンコジーンの変異パターンに被験物質投与の影響が認められなかったことから、
9 TCA は腫瘍イニシエーターではなくプロモーターであるとされている（参照 37）。
10 他のマウスの発がん機序に関する研究でも、TCA の肝腫瘍プロモーター作用が報
11 告されている（参照 38、39、40）。Bull らは、TCA は直接 DNA を損傷しない
12 ため、イニシエートされた細胞のクローン増殖を促進することが肝発がん機序と
13 して最も可能性が高いとしている（参照 14）。

14
15 TCA はげっ歯類の肝細胞にペルオキシソーム増殖を引き起こす。TCA による
16 ヒトの肝発がんの可能性及び TCA のヒト肝細胞に対するペルオキシソーム増殖
17 作用を明らかにするために、ヒトの初代培養肝細胞を用いて調べたところ、ヒト
18 肝細胞では TCA の作用によるペルオキシソーム増殖が低かった。このことから、
19 ヒト細胞の TCA のペルオキシソーム増殖因子に対する感受性がげっ歯類細胞に
20 比較して低く、ヒトは TCA の肝発がん作用を受けない可能性があるとしてい
21 る（参照 41）。

22 マウス肝腫瘍に PPAR α (peroxisome proliferator-activated receptor alpha)
23 が主要な役割を果たしているかについて、マウス (雄) における TCA (0.25、0.5、
24 1.0、2.0 g/L) の 7 日間飲水投与試験で検討された。2 g/L 投与群で小葉中心部肝
25 細胞腫大が SV129 野生型マウスにみられるが、PPAR α のないマウスにはみられ
26 ないことから、TCA のマウス肝臓への影響は、ペルオキシソーム増殖を誘導する
27 物質の量に依存し、PPAR α が必要であるとされた（参照 42）。また、最近発表
28 された総説でも、TCA が誘発するマウス肝腫瘍は PPAR α 依存の機序によること
29 が示唆されている（参照 43）。しかし、TCA はマウス、ラットのいずれでもペ
30 ルオキシソーム増殖を誘導するが、ラットでは肝腫瘍は誘導しない。EPA はペ
31 ルオキシソーム増殖が TCA によるマウス肝発がんの鍵を握っているかどうかは明
32 らかではないとしている（参照 5）。

33
34 TCA によるマウス肝発がん機序として、DNA のメチル化との関係が研究され
35 ている。TCA による腫瘍プロモーション試験で、肝細胞腺腫及び肝細胞癌の DNA
36 に低メチルが見られることが報告されている（参照 40）。TCA を飲水投与した
37 B6C3F₁ マウス (雌) では肝細胞の細胞分裂が高まり、c-myc プロトオンコジ
38 ーンのプロモーター領域の DNA で低メチル化が認められたことから、著者は、TCA
39 は DNA の複製を促進し、新規に合成された DNA 鎖のメチル化を妨げることに
40 より低メチル化を引き起こし、この作用が TCA の発がんの機序に関係している

1 としている（参照 44、45）。

2
3 以上のように、TCA によるマウスの発がん機序に関する研究が多数行われているが、EPA は現在までの証拠では、いずれの機序が観察された腫瘍反応の原因とな
4 っているかを判定するには十分ではないとしている（参照 5）。

6 7 **④ 免疫毒性試験**

8 TCA 曝露の自己免疫疾患発生への影響が自己免疫疾患になりやすいマウス
9 (MRL^{+/+}マウス) を用いて検討された。MRL^{+/+}マウス（雌、各投与群 6～8 匹、5
10 ～7 週齢）における TCA (0、0.1、0.9 mg/mL : 0、27、205 mg/kg 体重/日) の 4
11 週間飲水投与試験が行われた。いずれの投与群でも有意な CD4⁺T 細胞の活性化が
12 みられたが、用量依存性はなかった。B 細胞の活性状態には変化はなかった。0.9
13 mg/mL 投与群で CD4⁺T 細胞からのサイトカイン IL (インターロイキン) -2 放出の
14 増加がみられたが、IL-4 には顕著な変化が見られず、CD4⁺T 細胞の Th1 (ヘルパー
15 T 細胞 I 型) 様の免疫反応への偏りが認められた。また、炎症性サイトカインで
16 あるインターフェロン γ の生成の増加がみられた。これらの変化は自己免疫炎症性
17 疾患の特徴である。また、0.9 mg/mL 投与群では CD4⁺T 細胞のアポトーシスの有
18 意な阻害が認められた。著者らは、これらのデータは、飲料水での低レベルの TCA
19 の短期間曝露は、CD4⁺T 細胞の活性促進及び活性化細胞のアポトーシスの阻害を引
20 き起こし、Th1 様の免疫反応への偏りを高めることを示唆しているとしている（参
21 照 46）。

22 23 **⑤ 生殖・発生毒性試験**

24 **a. 発生毒性試験（ラット）**

25 Long-Evans ラット（雌）における TCA (0、330、800、1,200、1,800 mg/kg
26 体重/日) の妊娠 6～15 日の強制経口投与（経口挿管）試験が行われた。各投与群
27 で認められた毒性所見を表 18 に示す。

28 800 mg/kg 体重/日以上投与群で母動物の体重増加抑制、330 mg/kg 体重/日
29 以上の投与群で母動物の脾臓及び腎臓重量の用量依存的な増加、800 mg/kg 体重
30 /日以上投与群で吸収胚の増加が認められた。330 mg/kg 体重/日以上投与群
31 で、胎児体重及び体長の有意な減少、軟組織（主に心血管系（心室中隔欠損症、
32 左胸心））の奇形発生頻度の増加が認められ、眼窩を主とした骨格奇形が 1,200
33 mg/kg 体重/日以上投与群で認められた。これらのデータから TCA は 330 mg/kg
34 体重/日以上で発生毒性を示すものと判断される（参照 47）。

35 WHO は、体重増加抑制に基づき、母動物毒性の LOAEL を 330 mg/kg 体重/
36 日、催奇形性及び胎児の成長への影響に基づき、発生毒性の LOAEL を 330 mg/kg
37 体重/日とした（参照 3）。EPA も、母動物毒性及び発生毒性の LOAEL を 330 mg/kg
38 体重/日とした（参照 5）。

1

表 18 ラット発生毒性試験

投与群	親動物	児動物
1,200 mg/kg 体重/日以上		眼窩の骨格奇形
800 mg/kg 体重/日以上	体重増加抑制、脾臓及び腎臓重量増加、吸収胚の増加	
330 mg/kg 体重/日以上	脾臓及び腎臓重量増加	体重及び体長の減少、軟組織（主に心血管系（心室中隔欠損症、左胸心））の奇形発生頻度の増加

2

3

b. 発生毒性試験（ラット）

4

Sprague-Dawley ラット（雌、投与群 19 匹）における妊娠 6～15 日の TCA（0、300 mg/kg 体重/日）の強制経口投与試験が行われた。認められた毒性所見を表 19 に示す。

5

6

7

母動物に有意な体重の増加抑制が認められ、妊娠 21 日の胎児の体重は、有意に低かったが、胎児あたり及び同腹児あたりの心奇形の発生頻度に有意な増加はみられなかった（参照 48）。

8

9

10

EPA は、この検討における母動物の体重の増加抑制及び胎児の体重減少から、母動物毒性及び発生毒性の LOAEL を 300 mg/kg 体重/日とした（参照 5）。

11

12

13

また、EPA は上記の検討に続いて、眼球奇形への影響を同様な実験手法（妊娠ラット、投与量（0、300 mg/kg 体重/日））で行い、TCA の眼球奇形への本質的な影響は見られず、眼球形態計測数値は減少したが有意ではなかったと報告している（参照 49）。

14

15

16

17

表 19 ラット発生毒性試験

投与群	親動物	児動物
300 mg/kg 体重/日	体重の増加抑制	体重減少

18

19

c. 発生毒性試験（ラット）

20

妊娠した Charles Foster ラット（雌、各投与群 25 匹）における TCA（0、1,000、1,200、1,400、1,600、1,800 mg/kg 体重/日）の妊娠 6～15 日の強制経口投与試験が行われ、妊娠 19 日目に胎児脳の外部奇形及び組織学的奇形が調べられた。各投与群で認められた毒性所見を表 20 に示す。

21

22

23

24

妊娠 19 日目に、1,000 mg/kg 体重/日投与群で脳重量の初期増加、1,200 mg/kg 体重/日以上投与群で脳重量減少がみられた。1,000 及び 1,200 mg/kg 体重/日投与群の脳では、水頭症、脈絡膜叢の構造変形、大脳皮質に分布する神経細胞のアポトーシスの増加がみられた。1,400 mg/kg 体重/日以上投与群の脳では、神経細胞のアポトーシスの増加だけでなく、皮質組織（cortical parenchyma）内の赤血球溢出、神経網の空胞変性、複数の空洞形成がみられた。著者らは、TCA は 1,200 mg/kg 体重/日以上投与群の用量で、神経細胞のアポトーシス増加が起り、結果

25

26

27

28

29

30

的に対照と比べて脳重量の減少をもたらす、また胎児の中樞神経系は TCA の毒性に敏感であるとしている（参照 50）。

この報告では LOAEL を 1,000 mg/kg 体重/日と推定した。

表 20 ラット発生毒性試験

投与群	児動物
1,400 mg/kg 体重/日以上	脳皮質組織内の赤血球溢出、神経網の空胞変性、複数の空胞形成
1,200 mg/kg 体重/日以上	脳重量減少
1,000 mg/kg 体重/日以上	水頭症、脈絡膜叢の構造変形、大脳皮質神経細胞のアポトーシスの増加

d. 発生毒性試験（ラット）

Sprague-Dawley ラット（雌）における TCA（0、2.73 g/L : 0、291 mg/kg 体重/日）の妊娠 1～22 日の飲水投与試験が行われた。認められた毒性所見を表 21 に示す。

母動物に有意な体重増加抑制が認められ、生殖影響としては、吸収胚及び心臓の軟組織奇形の増加が認められた（参照 51）。

WHO は、母動物毒性及び発生毒性の LOAEL を 290 mg/kg 体重/日²とした（参照 3）。EPA は、発生毒性及び母動物毒性の LOAEL を 291 mg/kg 体重/日とした（参照 5）。

表 21 ラット発生毒性試験

投与群	親動物	児動物
2.73 g/L (291 mg/kg 体重/日)	体重増加抑制	吸収胚及び心臓の軟組織奇形の増加

【参考】

妊娠 10 日 Sprague-Dawley ラットから採取した培養胎児の成長及び発生に与える TCA の影響を *in vitro* で評価した。胎児の奇形は TCA 濃度 1 mM ではみられず、2.5 mM でみられた。1 mM で、成長へのわずかな影響（総 DNA 及び胎児当たりのタンパク含有量の有意ではない減少）がみられた（参照 52）。また、TCA の濃度 1～5 mM で、マウスの培養胎児に、有意な用量依存的な奇形（神経管欠損、回位異常、眼球異常、咽頭弓異常、心臓欠損）発生頻度の増加がみられたと報告されている（参照 53）。

TCA の催奇形性は、非哺乳類であるヒドラ（*Hydra attenuata*）を用いた発生毒性スクリーニング試験では認められなかった（参照 54）。

² 文献（参照 51）には、291 mg/kg 体重/日と記載されている。

⑥ 遺伝毒性試験

TCA の *in vitro* 及び *in vivo* 遺伝毒性試験の試験結果を表 22、23 に示す(参照 7)。

a. *in vitro* 試験

TCA は、サルモネラ菌 (*Salmonella typhimurium*) の TA100 株において変異原性を示した報告が一つあるが(参照 55)、その他複数の試験においては変異原性が検出されず再現性がないことから、復帰突然変異試験は陰性であると考えられる。マウスリンパ腫を用いた突然変異試験では代謝活性化系の存在下で弱い変異原性を示したが(参照 56)、培養ヒト末梢リンパ球を用いた試験では染色体異常誘発性は認められず(参照 57)、CHO 細胞を用いたコメットアッセイも陰性であった(参照 58)。したがって、*in vitro* 遺伝毒性は陰性と判断される。

表 22 TCA *in vitro* 遺伝毒性試験結果

試験の種類 (名称)	対象	試験結果		著者
		代謝活性 有	代謝活性 無	
原核生物				
プロフェージ誘発試験	<i>Escherichia coli</i> WP2s	—	—	DeMarini et al. 1994 (参照 62)
DNA 損傷試験 (SOS 試験)	<i>Escherichia coli</i> PQ37	—	—	Giller et al.1997 (参照 55)
DNA 修復試験 (Rec-assay)	<i>Bacillus subtilis</i> H17 rec ⁺ and M45 rec ⁻	No data	—	Shirasu et al. 1976 (参照 63)
復帰突然変異試験	<i>Escherichia coli</i> , <i>B/r try</i> WP2	No data	—	Shirasu et al. 1976 (参照 63)
復帰突然変異試験	<i>S.typhimurium</i> TA100、TA98、TA1537、TA1538、TA98	—	—	Waskell 1978 (参照 64)
復帰突然変異試験	<i>S.typhimurium</i> TA100、TA1535	—	—	Nestmann et al.1980 (参照 65)
復帰突然変異試験	<i>S.typhimurium</i> TA100	No data	—	Rapson et al.1980 (参照 59)
復帰突然変異試験	<i>S.typhimurium</i> TA100、TA98	—	—	Moriya et al.1983 (参照 66)
復帰突然変異試験	<i>S.typhimurium</i> TA100	—	—	DeMarini et al.1994 (参照 62)
復帰突然変異試験	<i>S.typhimurium</i> TA100	+	+	Giller et al.1997 (参照 55)
復帰突然変異試験	<i>S.typhimurium</i>	—	—	Kargalioglu 2002

	TA100、RSJ100、 TA98			(参照 60)
復帰突然変異試験	<i>S.typhimurium</i> TA104	—	—	Nelson 2001 (参照 61)
復帰突然変異試験	<i>S.typhimurium</i> TA1535、TA1536、 TA1537、TA1538	—	—	Shirasu et al. 1976 (参照 63)
真核生物				
DNA 鎖切断試験	マウス肝細胞 ラット肝細胞 ヒトリンパ芽球	No data	— — —	Chang et al. 1992 (参照 67)
DNA 損傷試験 (コメットアッセイ)	CHO 細胞	No data	—	Plewa et al. 2002 (参照 58)
遺伝子突然変異試験	マウスリンパ腫 L5178Y/TK ^{+/-} 細胞	±	—	Harrington-Brock et al. 1998 (参照 56)
染色体異常試験	培養ヒト末梢リンパ 球	—	—	Mackay et al. 1995 (参照 57)

1 + : 陽性 - : 陰性 ± : 弱陽性

2
3 **b. *in vivo* 試験**

4 マウス及びラット肝における DNA 鎖切断試験では相反する結果が報告されて
5 いる (参照 67、68、69)。1987 年インドで実施されたマウス骨髄細胞を用いた
6 小核試験 (腹腔内投与) 及び染色体異常試験 (腹腔内投与と経口投与) のいずれ
7 においても陽性と報告されている (参照 70)。一方、1995 年の Mackay らのマ
8 ウス骨髄細胞を用いた小核試験報告では、半致死量に近い用量まで腹腔内投与し
9 たが結果は陰性であった (参照 57)。したがって、TCA の小核誘発活性につい
10 ては疑わしく、現時点では遺伝毒性をもつ可能性は低いと考えられる。

11
12 **表 23 TCA *in vivo* 遺伝毒性試験結果**

試験の種類 (名称)	対象	試験結果	著者
DNA 鎖切断試験 (経口)	マウス肝臓 ラット肝臓	+	Nelson & Bull 1988 Nelson et al. 1989 (参照 68,69)
DNA 鎖切断試験 (経口)	マウス肝臓、胃、十二指腸上皮細胞 ラット肝臓	—	Chang et al. 1991 (参照 67)
小核試験 (腹腔内)	マウス (雌雄) 骨髄細胞 300~1300 mg/kg	—	Mackay et al. 1995 (参照 57)

染色体異常試験（腹腔内、経口）	マウス骨髄細胞 125～500 mg/kg	+	Bhunya & Behera 1987（参照 70）
小核試験（腹腔内）		+	

1 +：陽性 -：陰性

2
3 **（3）ヒトへの影響**

4 TCA の 16.9%～50%溶液は、長年にわたり皮膚のピーリング（剥離）治療剤と
5 して臨床使用されており、軽度の紅斑と浮腫が数日間続いた後に壊死した皮膚が剥
6 落する。病理組織学的には、TCA による皮膚障害として、表皮の喪失、初期の炎症
7 反応及びコラーゲン変性が特徴的である（参照 71、72）。TCA を生殖器いぼの塗
8 布治療に用いた 2 例で、膣前庭部に顕著な紅斑と圧痛が 2～15 週間続いたと報告さ
9 れている（参照 73）。

10
11
12 **2. 国際機関等の評価**

13 **（1）International Agency for Research on Cancer (IARC)**

14 グループ 3:ヒトに対する発がん性について分類できない。

15 TCA は、ヒトでの発がん性を示す証拠は不十分であり、実験動物では発がん性の
16 証拠が限られている（参照 7）。

17
18 **（2）Joint Expert Committee on Food Additives (JECFA)**

19 評価書なし。

20
21 **（3）WHO 飲料水水質ガイドライン 第 3 版（一次及び二次追補 包括版）（参照 4）**
22 **及び第 3 版根拠文書（参照 3）**

23 TCA はマウスの肝臓に腫瘍を誘発することが示されている。*in vitro* 変異原性試
24 験及び染色体異常試験では陰性・陽性の混在する結果を示し、*in vivo* の試験では染
25 色体異常を誘起することが報告されている。IARC（参照 7）は、TCA をグループ 3
26 （ヒトに対する発がん性について分類できない）に分類している。証拠の重み付け
27 から、TCA は、遺伝毒性発がん物質ではないと判断される。

28 ラットにおける TCA 塩 (trichloroacetate) の 2 年間飲水投与試験（参照 32）で
29 の体重減少、血清中の肝臓関連酵素の増加及び肝臓の病理組織学的変化を指標にし
30 た NOAEL 32.5 mg/kg 体重/日に基づき、不確実係数 1,000（個体差及び種差：100、
31 多世代の生殖毒性試験及び 2 種の動物での発生毒性試験がないこと及びその全病理
32 組織学的データがないこと：10）を適用して、TDI を 32.5 µg/kg と算出した。

33
34 [参考]

35 TDI を 32.5 µg/kg 体重/日とし、ヒトの体重を 60 kg、1 日の飲水量を 2 L と仮定
36 し、飲料水の寄与率を 20%とすると、TCA のガイドライン値は 200 µg/L（端数処
37 理値）となる。

1 (4) 米国環境保護庁 (US EPA)

2 Integrated Risk Information System (IRIS) (参照 6)

3 EPA/IRIS では、化学物質の評価を、TDI に相当する経口リファレンスドース
4 (経口 RfD) として慢性非発がん性の情報を提供している。また、一方で、発がん
5 影響について、発がん性分類についての情報を提供し、必要に応じて、経口曝露に
6 によるリスクについての情報を提供している。

7
8 ① 経口 RfD : 項目なし

9
10 ② 発がん性

11 TCA についてのヒトの発がんデータがないこと、1 系統の雌雄マウスの肝におけ
12 る腫瘍の増加傾向に関する限られた証拠のみがあること、ラットでの発がん性が認
13 められないこと、遺伝毒性試験の結果に一貫性がなく、TCA に点突然変異誘発性が
14 ないとみられることから、グループ C (ヒトに対して発がん性をもつかもしれない
15 物質 (possible human carcinogen)) に分類されている (参照 6) 。

16
17 EPA (参照 5) では、F344 ラットにおける 2 年間飲水投与試験 (参照 32) での
18 肝臓の病理組織学的変化についての NOAEL 32.5 mg/kg 体重/日に基づき、不確実
19 係数 1,000 (種差 10×個人差 10×データベース不足 10) を適用して、RfD を 0.0325
20 mg/kg 体重/日 (端数処理 0.03 mg/kg 体重/日) とした。

21
22 (5) 厚生労働省

23 我が国における水質基準の見直しの際の評価 (参照 1)

24 TCA は、マウスで肝腫瘍を引き起こすが、変異原性や染色体異常などの *in vitro*
25 系の試験では陰性及び陽性の結果が混在して報告されている。IARC (1995) では
26 Group3 (ヒト発がん性物質として分類できない) に分類されている。また、平成 4
27 年の専門委員会の評価では、Bull ら (1990) をもとに発がん性のおそれを考慮して
28 0.3 mg/L 以下の基準値を設定しているが、発がん性を示す知見はラットでは認めら
29 れず (De Angelo et al., 1997) 、マウスで行われた実験でしか得られていないことか
30 ら、TDI 法による評価値の設定が適当であると考えられた。

31 雄の F344 ラット群に飲水中 0、0.05、0.5、5.0g/L (0、3.6、32.5、364 mg/kg /day)
32 の TCA を 2 年間投与した結果、364 mg/kg/day で、体重増加³、肝臓重量 (相対値
33 ではなく絶対値) の減少、血清アラニンアミノ基転移酵素活性の増加、シアン化物
34 非感受性パルミトイル CoA 酸化酵素活性の増加、肝細胞壊死の重症化が見られた。
35 腎臓、脾臓、精巣の重量に変化はなかった。放射標識されたチミジンの取り込み量
36 として測定された肝細胞増殖の証拠はなかった。32.5 mg/kg/day で、血清アスパラ
37 ギン酸アミノ基転移酵素活性が有意に増加したが、化合物投与による有害影響では
38 ないと判断された。非腫瘍性影響に基づいて、この研究の NOAEL は 32.5

³ De Angelo et al., 1997 (参照 32) には、「decrease in body weight」と記載されている。

1 mg/kg/day であった（参照 32）。

2 TDI は、NOAEL：32.5mg/kg/day を基に、総合 UF：1000（種間および個体差
3 の UF：100 と、発がん性の可能性について：10）を適用して 32.5 μg/kg/day と算
4 定された。

5 消毒副生成物であることより、飲料水に対する TDI の寄与率として 20%を適用
6 し、50kg の体重のヒトが 1 日 2L の飲料水を摂取すると仮定すると、トリクロロ酢
7 酸の評価値は 0.2 mg/L（≒162.5 μg/L）と求められる。

表 24 WHO 等によるトリクロロ酢酸の TDI 法によるリスク評価

根拠	NOAEL (mg/kg 体重/日)	LOAEL	不確実係数	TDI (μg/kg 体重/日)
WHO/DWG L 第 3 版(一 次及び二 次追補 包 括 版) (2008)	ラットの 104 週間飲 水投与試験 (参照 32) における体重減少、血 清中の肝臓関連酵素 の増加、肝臓の病理組 織学的所見	32.5	— 10(種差)×10(個体 差)×10(多世代の生 殖毒性試験及び 2 種 の動物での発生毒性 試験がないこと及び その全病理組織学的 データ不足)	1000 32.5
EPA (2005)	ラットの 104 週間飲 水投与試験 (参照 32) における肝臓の病理 組織学的所見	同上	— 10(種差)×10(個体 差)×10(データベ ース不足)	1000 30 (端数処 理)
水道水	ラットの 104 週間飲 水投与試験 (参照 32) における体重減少、血 清中の肝臓関連酵素 の増加、肝臓の病理組 織学的所見	同上	— 10(種差)×10(個体 差)×10(発がんの可 能性)	1000 32.5

3. 曝露状況

11
12
13
14
15 平成 19 年度水道統計（参照 74）における TCA の水道水の検出状況（表 24）は、
16 原水において、最高検出値は水質基準値の 10%超過～40%以下で 2 箇所みられたが、
17 それ以外はすべて水道法水質基準値（0.2mg/L）の 10%以下であった。

18 浄水においては、最高検出値は水質基準値の 10%超過～40%以下で 105 箇所みら

1 れたが、それ以外はすべて水質基準値の10%以下（5,749/5,854 地点）であった。

2 表 25 水道水（原水・浄水）での検出状況（参照 74）

浄水 / 原水の別	水源種別	測定地点数	基準値に対する度数分布表											
			10%以下	10%超過 20%以下	20%超過 30%以下	30%超過 40%以下	40%超過 50%以下	50%超過 60%以下	60%超過 70%以下	70%超過 80%以下	80%超過 90%以下	90%超過 100%以下	100%超過	
			～ 0.020 (mg/L)	～ 0.040 (mg/L)	～ 0.060 (mg/L)	～ 0.080 (mg/L)	～ 0.100 (mg/L)	～ 0.120 (mg/L)	～ 0.140 (mg/L)	～ 0.160 (mg/L)	～ 0.180 (mg/L)	～ 0.200 (mg/L)	0.201 (mg/L) ～	
原水	全体	363	361	1	0	1	0	0	0	0	0	0	0	0
	表流水	79	79	0	0	0	0	0	0	0	0	0	0	0
	ダム湖沼	15	15	0	0	0	0	0	0	0	0	0	0	0
	地下水	113	113	0	0	0	0	0	0	0	0	0	0	0
	その他	156	154	1	0	1	0	0	0	0	0	0	0	0
浄水	全体	5,854	5,749	93	10	2	0	0	0	0	0	0	0	0
	表流水	1,033	985	42	6	0	0	0	0	0	0	0	0	0
	ダム湖沼	304	281	18	3	2	0	0	0	0	0	0	0	0
	地下水	3,206	3,189	16	1	0	0	0	0	0	0	0	0	0
	その他	1,311	1,294	17	0	0	0	0	0	0	0	0	0	0

(平成 19 年度調査結果)

3
4
5

6 III. 食品健康影響評価

7 TCA については、ヒトへの影響において、TCA に慢性的に経口曝露された時の毒
8 性や発がん性に関する知見はないが、皮膚のピーリング処置や生殖器いぼへの塗布治
9 療に用いると、紅斑を生じ、圧痛を生じることがあることが報告されている。

10 実験動物への影響においては、亜急性及び慢性曝露における主たる標的臓器は肝臓
11 である。複数世代の生殖・発生毒性試験は実施されていないが、母動物に影響がみら
12 れる用量で発生毒性がみられる。また、発がん性に関しては、B6C3F₁ マウスにおけ
13 る飲水投与試験で、肝腫瘍の増加が認められた。しかし、ラットにおける 2 年間飲水
14 投与試験では、肝腫瘍の増加は認められなかった。IARC は、ヒトの発がんデータが
15 ないこと、1 系統の雌雄マウスの肝における腫瘍の増加傾向に関する限られた証拠の
16 みであり、ラットでの発がん性が認められないことから、TCA をグループ 3（ヒトに
17 対する発がん性について分類できない）に分類している。

18 遺伝毒性については、*in vitro* 試験は陰性と判断された。また、*in vivo* 試験では小
19 核試験で陰性・陽性の相反する結果が報告されているが、1995 年の試験結果（陰性）
20 のほうがより信頼性が高いと考えられた。*in vitro* 試験において DNA との明らかな反
21 応性が検出されていないことを考え合わせると、TCA が遺伝毒性を有する可能性は極

1 めて低いと考えられる。

2 以上のことから、TCA のリスク評価においては、非発がん毒性に関する耐容一日摂
3 取量 (TDI) を設定することが適当であると判断された。

4 各種の反復投与毒性試験において、最も低い用量で認められた影響は、ラットにお
5 ける 10 週間飲水投与試験で見られた体重の減少、血清脂質及び炭水化物の代謝マー
6 カーの変化及び腎グルタチオン値の減少であり、LOAEL が 3.8 mg/kg 体重/日であっ
7 た。しかしながら、この試験は単一用量の試験であり用量反応関係が不明であること、
8 組織病理学的変化の具体的なデータの記載がないことから、TDI の設定の根拠とする
9 には適当ではないと判断した。

10 次に低い用量で認められた影響は、マウスにおける 104 週間飲水投与試験で見られ
11 た肝臓の腫瘍発生頻度及び腫瘍発生個数の上昇、パルミトイル CoA 酸化酵素活性の増
12 加、肝病変の発生頻度及び重篤度の上昇であり、LOAEL が 58 mg/kg 体重/日、NOAEL
13 が 6 mg/kg 体重/日であった。この NOAEL に基づいて、不確実係数 1,000 (種差 10、
14 個体差 10、生殖・発生毒性試験に関するデータ不足及び発がん性の可能性について
15 10) を適用して、TCA の TDI を 6 µg/kg 体重/日と設定した。

16

17

18

TDI 6 µg/kg 体重/日

19

20

(TDI 設定根拠)

104 週間飲水投与試験

21

(動物種)

マウス

22

(期間)

104 週間

23

(投与方法)

飲水投与

24

(NOAEL 設定根拠所見)

腫瘍発生頻度及び腫瘍発生個数の上昇、肝パル
ミトイル CoA 酸化酵素活性の増加、非増殖性肝
病変の発生頻度及び重篤度の上昇

25

26

27

(NOAEL)

6 mg/kg 体重/日

28

(不確実係数)

1,000 (種差 : 10、個体差 : 10、生殖・発生毒
性試験に関するデータ不足及び発がん性の可能
性 : 10)

29

30

31

32

[参考]

33

34

35

水質基準値の 40%である濃度 0.08 mg/L の水を体重 50 kg の人が 1 日あたり 2 L 摂
水した場合、1 日あたり体重 1 kg の摂取量は、3.2 µg/kg 体重/日と考えられる。この
値は、TDI 6 µg/kg 体重/日の約 2 分の 1 である。

表 26 各試験における NOEL 等

番号	動物種・ 系統・ 性・動物 数/群	試験種	エンドポイント	NOAEL (mg/kg 体重/日)	LOAEL (mg/kg 体重/日)	備考
亜 a.	マウス B6C3F ₁ 雄 8 及び ラット F344 雄 6	10 日間 強制経口 投与	肝相対重量の増加、シアン化 物非感受性パルミトイル CoA 酸化酵素活性の上昇 (500)		500[W]	肝臓への影響 (W)
亜 b.	マウス B6C3F ₁ 雌雄 5	11 日間 強制経口 投与 (溶 媒: コー ン オ イ ル)	雌雄肝重量増加(100)、肝細 胞増殖(雄(100-)、雌(250-))		100[E]	
亜 c.	マウス B6C3F ₁ 雄 6	14 日間 飲水投与	肝重量増加、ペルオキシソ ム増殖指標の上昇(250-)		250[E]	用量は飲水量 既定値から算 出(E)
亜 d.	マウス B6C3F ₁ 雄 12	14 日間 飲水投与	統計学的に有意な肝重量増 加(250)	75[W,E]	250[E]	用量は飲水量 既定値から算 出(E)
亜 e.	マウス B6C3F ₁ 雄 6	3 又は 10 週間飲水 投与	肝重量増加、ペルオキシソ ム増殖指標の上昇(125-)	25[W,E]	125[E]	用量は飲水量 既定値から算 出(E)
亜 f.	ラット Sprague- Dawley 雄 6	10、20、 30 日間 飲水投与	体重、臓器重量、解剖学的検 査及び病理組織学的検査で の変化なし(312)	312[W]		
亜 g.	ラット Sprague- Dawley 雄 6	52 日間 経口投与	血中ビリルビンの増加、タン パク質及びコレステロール の減少、赤血球数、平均赤血 球容積、平均赤血球ヘモグロ ビン、平均赤血球ヘモグロ ビン濃度、ヘモグロビン及び ヘマトクリット値増加、血小 板数の減少(100)		100	

亜 h.	ラット Wistar 雄 5~6	10 週間 飲水投与	体重の減少、血清脂質及び炭水化物代謝マーカーの変化（コハク酸デヒドロゲナーゼの上昇、グリコーゲン蓄積の増加、肝トリグリセリド及びコレステロール値の低下）及び腎グルタチオン値の減少(3.8)		3.8[W,E]	用量は飲水量既定値から算出(E)
亜 i.	ラット Sprague-Dawley 雄 10	90 日間 飲水投与	体重増加抑制、脾臓の絶対重量の減少、肝臓及び腎臓の相対重量の増加、肝細胞腫大、肝臓へのグリコーゲン蓄積、肝ペルオキシゾーム β 酸化活性の上昇(355)	36.5[W,E]	355[E]	
慢 a.	マウス B6C3F ₁ 雄：11~35、雌：10	37 週間 飲水投与	肝臓の絶対及び相対重量増加、腫瘍発生頻度の増加（有意ではない）(309)			
		52 週間 飲水投与	肝臓の絶対及び相対重量増加、肝臓の巨大細胞、グリコーゲン蓄積(329)、肝臓の絶対及び相対重量増加、腫瘍発生頻度の増加（有意ではない）(164)			
慢 b.	マウス B6C3F ₁ 雌 93、46、38 の群	51 又は 82 週間 飲水投与	肝臓の相対重量増加、変異肝細胞巣及び肝細胞癌が有意に上昇(262)	78[W,E]	262[E]	
慢 c.	マウス B6C3F ₁ 雄 50、58、72 の群	60 週間 飲水投与	肝臓の炎症発生頻度及び重篤度の上昇(602)、肝臓の絶対及び相対重量の増加、腫瘍発生頻度及び腫瘍発生個数の上昇、肝細胞壊死の重篤度の上昇、肝パルミトイル CoA 酸化酵素活性の増加、精細管の変性(68)、肝臓の小葉中心性細胞変性の発生頻度及び重篤度の上昇(8)	6[A]		

		104 週間 飲水投与	腫瘍発生頻度及び腫瘍発生 個数の上昇、肝パルミトイル CoA 酸化酵素活性の増加、 非増殖性肝病変の発生頻度 及び重篤度の上昇(58-)			
慢 d.	ラット F344 雌 50	2 年間飲 水投与	体重の減少、肝臓の絶対重量 の減少、アラニン-アミノ基 転移酵素活性の上昇、シアン 耐性パルミトイル CoA 酸化 酵素活性の上昇、肝細胞壊死 の重篤度の上昇(364)	32.5[A,E]	364[E]	用量は著者計 算(E)
生 a.	ラット Long-Ev ans	妊娠 6～ 15 日強 制経口投 与	親動物：脾臓及び腎臓重量増 加 児動物：体重及び体長の減 少、軟組織(主に心血管系(心 室中隔欠損症、左胸心)) の 奇形発生頻度の増加(330-)		330[A,W, E]	IRIS(1994) RfD の主試験、 親動物毒性と 発生毒性の LOAEL は同 じ(E)
生 b.	ラット Sprague- Dawley 19	妊娠 6～ 15 日強 制経口投 与	親動物：体重の増加抑制 (300) 児動物：体重減少(300)		300[E]	親動物毒性と 発生毒性の LOAEL は同 じ(E)
生 c.	ラット Charles Foster	妊娠 6～ 15 日強 制経口投 与	脳皮質組織内の赤血球溢出、 神経網の空胞変性、複数の空 洞形成(1,400-)、脳重量減少 (1,200-)、水頭症、脈絡膜叢 の構造変形、大脳皮質神経細 胞のアポトーシスの増加 (1,000-)		1,000	
生 d.	ラット Sprague- Dawley	妊娠 1～ 22 日飲 水投与	親動物：体重増加抑制 児動物：吸収胚及び心臓の軟 組織奇形の増加(290)		290[W] 291[E]	用量は著者算 出、標準発生毒 性エンドポイントが 評価されてい ない(E)

- 1 亜：亜急性毒性試験、慢：慢性毒性及び発がん性試験、生：生殖・発生毒性試験
- 2 [A]：著者、[W]：WHO、[E]：US EPA、[F]：EPA/IRIS、無印：食品安全委員会
- 3
- 4

本評価書中で使用した略号については次にならった

US EPA 米国 環境保護庁

IRIS 統合リスク情報システム

LD₅₀ 半数致死量

LOAEL 最小毒性量

NOAEL 無毒性量

TDI 耐容一日摂取量

- 1
- 2
- 3
- 4
- 5
- 6
- 7
- 8
- 9
- 10
- 11
- 12
- 13
- 14
- 15
- 16
- 17
- 18
- 19
- 20
- 21
- 22
- 23
- 24
- 25
- 26
- 27
- 28
- 29
- 30

1 <参照>

- 2
- 3 1 厚生労働省: 水質基準の見直しにおける検討概要 平成 15 年 4 月、厚生科学審議会、生活
4 環境水道部会、水質管理専門委員会 2003
- 5 2 WHO:World Health Organization. Air Quality Guidelines for Europe, Second
6 edition.2000
- 7 3 WHO:World Health Organization. Trichloroacetic acid in Drinking-water. Background
8 document for development of WHO Guidelines for Drinking-water Quality.
9 WHO/SDE/WSH/03.04/120. 2004
- 10 4 WHO:World Health Organization. Guidelines for Drinking Water Quality, Third
11 edition incorporating the first and second addenda. Vol.1, 2008
- 12 5 US EPA (Environmental Protection Agency). Drinking Water Addendum to the
13 Criteria Document for Trichloroacetic Acid. U.S. Environmental Protection Agency
14 Office of Water (4304T), Health and Ecological Criteria Division Washington, DC
15 20460 www.epa.gov/safewater/, EPA Document Number: 822-R-05-010 Date:
16 November, 2005
- 17 6 US EPA (Environmental Protection Agency):Integrated Risk Information System
18 (IRIS).Trichloroacetic acid (CASRN 76-03-9), Reference dose for chronic oral exposure
19 (RfD), Last revised - 01/01/1994, Carcinogenicity assessment for lifetime exposure,
20 Last revised - 03/01/1996.Available online at <http://www.epa.gov/iris/subst/0655.htm>
21 2003
- 22 7 IARC International Agency for Research on Cancer: Some Drinking-water
23 Disinfectants and Contaminants, including Arsenic. Lyon, 2004; (IARC Monographs
24 on the Evaluation of Carcinogenic Risks to Humans Volume 84).
- 25 8 Schultz IR, Merdink JL, Gonzalez-Leon A, Bull RJ: Comparative Toxicokinetics of
26 Chlorinated and Brominated Haloacetates in F344 Rats. Toxicology and Applied
27 Pharmacology 1999;158(2): 103-114.
- 28 9 Kim H and Weisel CP: Dermal absorption of dichloro- and trichloroacetic acids from
29 chlorinated water. Journal of Exposure Analysis and Environmental Epidemiology
30 1998;8(4):555-575.
- 31 10 Yu K O, Barton HA, Mahle DA, Frazier JM: In vivo kinetics of trichloroacetate in male
32 Fisher 344 rats. Toxicological Sciences 2000; 54:302-311.
- 33 11 Templin MV, Parker JC, Bull RJ: Relative formation of dichloroacetate and
34 trichloroacetate from trichloroethylene in male B6C3F₁ mice. Toxicology and Applied
35 Pharmacology 1993;123: 1-8.
- 36 12 Lumpkin MH, JV Bruckner, JL. Campbell, CE. Dallas, CA White and JW Fisher:
37 Plasma binding of trichloroacetic acid in mice, rats, and humans under cancer bioassay
38 and environmental exposure conditions. Drug Metabol. Dispos 2003;31:1203-1207.

- 1 13 Larson JL and Bull RJ: Metabolism and lipoperoxidative activity of trichloroacetate
2 and dichloroacetate in rats and mice. *Toxicology and Applied Pharmacology* 1992;115:
3 268-277.
- 4 14 Bull RJ: Mode of action of liver tumor induction by trichloroethylene and its
5 metabolites, trichloroacetate and dichloroacetate. *Environmental Health Perspectives*
6 2000;108 (Suppl 2): 241-259.
- 7 15 Lash LH, Fisher JW, Lipscomb JC, Parker JC: Metabolism of trichloroethylene.
8 *Environmental Health Perspectives* 2000; 108(Suppl. 2): 177-200.
- 9 16 Volkel W, Friedwald M, Lederer E, Pahler A, Parker J and Dekant W:
10 Biotransformation of perchloroethylene: Dose-dependent excretion of trichloroacetic acid,
11 dichloroacetic acid, and Nacetyl-s-(trichlorovinyl)-l-cysteine in rats and humans after
12 inhalation. *Toxicology and Applied Pharmacology* 1998;153:20-27.
- 13 17 Woodard G, Lange SW, Nelson KW, Calvery HO: The acute oral toxicity of acetic,
14 chloroacetic, dichloroacetic and trichloroacetic acids. *The Journal of Industrial*
15 *Hygiene and Toxicology* 1942;23:78-82.
- 16 18 Goldsworthy TL and Popp JA: Chlorinated hydrocarbon-induced peroxisomal enzyme
17 activity in relation to species and organ carcinogenicity. *Toxicology and Applied*
18 *Pharmacology* 1987;88:225-233.
- 19 19 Dees C and C Travis.: Trichloroacetate stimulation of liver DNA synthesis in male and
20 female mice. *Toxicology Letters* 1994;70:343-355.
- 21 20 Austin E.W, JR Okita, RT Okita, JL. Larson and RJ Bull: Modification of
22 lipoperoxidative effects of dichloroacetate and trichloroacetate is associated with
23 peroxisome proliferation. *Toxicology* 1995;97:59-69.
- 24 21 Sanchez IM and Bull RJ: Early induction of reparative hyperplasia in B6C3F₁ mice
25 treated with dichloroacetate and trichloroacetate. *Toxicology* 1990;64: 33-46.
- 26 22 Parrish JM, Austin EW, Stevens DK, Bull RJ: Haloacetate-induced oxidative damage
27 to DNA in the liver of male B6C3F₁ mice. *Toxicology* 1996;110:103-111.
- 28 23 Parnell MJ, Koller LD, Exon JH: Assessment of hepatic initiation-promotion properties
29 of trichloroacetic acid. *Archives of Environmental Contamination and Toxicology*
30 1988;17:429-436.

- 1 24 Celik I, Temur A: Determination hematotoxic and hepatotoxic effects of trichloroacetic
2 acid at sublethal dosage in rats. *Food Chem Toxicol.* 2009;47(6):1324-1326.
- 3 25 Acharya S, Mehta K, Rodrigues S, Pereira J, Krishnan S, Rao CV: Administration of
4 subtoxic doses of t-butyl alcohol and trichloroacetic acid to male Wistar rats to study
5 the interactive toxicity. *Toxicology Letters* 1995;80:97-104.
- 6 26 Acharya S, Mehta K, Rodrigues S, Pereira J, Krishnan S, Rao CV: A histopathological
7 study of liver and kidney in male Wistar rats treated with subtoxic doses of t-butyl
8 alcohol and trichloroacetic acid. *Experimental Toxicology and Pathology*
9 1997;49:369-373.
- 10 27 Mather GG, Exon JH, Koller LD: Subchronic 90-day toxicity of dichloroacetic and
11 trichloroacetic acid in rats. *Toxicology* 1990;64: 71-80.
- 12 28 Bull RJ, Sanchez IM, Nelson MA, Larson JL, Lansing AJ: Liver tumor induction in
13 B6C3F₁ mice by dichloroacetate and trichloroacetate. *Toxicology* 1990;63:341-359.
- 14 30 Pereira MA: Carcinogenic activity of dichloroacetic acid and trichloroacetic acid in the
15 liver of female B6C3F₁ mice. *Fundamental and Applied Toxicology* 1996;31:192-199.
- 16 31 DeAngelo AB, Daniel FB, Wong DM, George MH: The induction of hepatocellular
17 neoplasia by trichloroacetic acid administered in the drinking water of the male
18 B6C3F₁ mouse. *J Toxicol Environ Health A.* 2008;71(16):1056-1068.
- 19 32 DeAngelo AB, Daniel FB, Most BM, Olson GR: Failure of monochloroacetic acid and
20 trichloroacetic acid administered in the drinking water to produce liver cancer in male
21 F344/N rats. *Journal of Toxicology and Environmental Health* 1997;52:425-445.
- 22 33 Bull RJ, Orner GA, Cheng RS, Stillwell L., Stauber AJ, Sasser LB et al.: Contribution
23 of dichloroacetate and trichloroacetate to liver tumor induction in mice by
24 trichloroethylene. *Toxicol. appl. Pharmacol* 2002;182:55-65.
- 25 34 Bull RJ, Sasser LB, Lei XC: Interactions in the tumor-promoting activity of carbon
26 tetrachloride, trichloroacetate, and dichloroacetate in the liver of male B6C3F₁ mice.
27 *Toxicology* 2004;199(2-3):169-183.
- 28 35 US EPA (Environmental Protection Agency). Toxicology of the chloroacetic acids,
29 by-products of the drinking water disinfection process. II. The comparative
30 carcinogenicity of dichloroacetic and trichloroacetic acid: Implication for risk
31 assessment. Document No. HERL-0820. Research Triangle Park, NC: Health Effects
32 Research Laboratory, US EPA. 1991
- 33 36 Von Tungeln LS, Yi P, Bucci TJ, Samokyszyn VM, Chou MW, Kadlubar FF et al.:

- 1 Tumorigenicity of chloral hydrate, trichloroacetic acid, trichloroethanol,
2 malondialdehyde, 4-hydroxy-2-nonenal, crotonaldehyde, and acrolein in the B6C3F₁
3 neonatal mouse. *Cancer Lett.* 2002;185(1):13-19.
- 4 37 Ferreira-Gonzalez A, DeAngelo AB, Nasim S, Garrett CT: Ras oncogene activation
5 during hepatocarcinogenesis in B6C3F₁ male mice by dichloroacetic and trichloroacetic
6 acids. *Carcinogenesis* 1995;16(3): 495-500.
- 7 38 Latendresse JR and Pereira MA: Dissimilar characteristics of
8 N-methyl-N-nitrosourea-initiated foci and tumors promoted by dichloroacetic acid or
9 trichloroacetic acid in the liver of female B6C3F₁ mice. *Toxicologic Pathology*
10 1997;25(5): 433-440.
- 11 39 Pereira MA and Phelps JB: Promotion by dichloroacetic acid and trichloroacetic acid of
12 N-methyl-N-nitrosourea-initiated cancer in the liver of female B6C3F₁ mice. *Cancer*
13 *Letters* 1996;102:133-141.
- 14 40 Tao L, Li K, Kramer PM, Pereria MA: Loss of heterozygosity on chromosome 6 in
15 dichloroacetic acid and trichloroacetic acid-induced liver tumors in female B6C3F₁
16 mice. *Cancer Letters* 1996;108: 257-261.
- 17 41 Walgren JE, Kurtz DT, McMillan JM: The effect of the trichloroethylene metabolites
18 trichloroacetate and dichloroacetate on peroxisome proliferation and DNA synthesis in
19 cultured human hepatocytes. *Cell Biol Toxicol.* 2000;16(4):257-273.
- 20 42 Laughter AR, Dunn CS, Swanson CL, Howroyd P, Cattley RC, Corton JC: Role of the
21 peroxisome proliferator-activated receptor alpha (PPARalpha) in responses to
22 trichloroethylene and metabolites, trichloroacetate and dichloroacetate in mouse
23 liver. *Toxicology.* 2004;203(1-3):83-98.
- 24 43 Corton JC: Evaluation of the role of peroxisome proliferator-activated receptor alpha
25 (PPARalpha) in mouse liver tumor induction by trichloroethylene and metabolites. *Crit*
26 *Rev Toxicol.* 2008;38(10):857-875.
- 27 44 Ge R, Yang S, Kramer PM, Tao L, Pereira MA: The effect of dichloroacetic acid and
28 trichloroacetic acid on DNA methylation and cell proliferation in B6C3F₁ mice. *J*
29 *Biochem Mol Toxicol.* 2001;15(2): 100-106.
- 30 45 Tao L, Wang W, Li L, Kramer PK, Pereira MA: DNA hypomethylation induced by
31 drinking water disinfection by-products in mouse and rat kidney. *Toxicol Sci.*
32 2005;87(2):344-352.
- 33 46 Blossom SJ, NR Pumford and KM Gilbert: Activation and attenuation of apoptosis of
34 CD4+ T cells following in vivo exposure to two common environmental toxicants,
35 trichloroacetaldehyde hydrate and trichloroacetic acid. *J. Autoimmunity*
36 2004;23:211-220.
- 37 47 Smith MK, Randall JL, Read EJ, Stober JA: Teratogenic effects of trichloroacetic acid
38 in the rat. *Teratology* 1989;40:445-451.
- 39 48 Fisher JW, Channel SR, Eggers JS, Johnson PD, MacMahon KL, Goodyear CD et al.:

- 1 Trichloroethylene, trichloroacetic acid, and dichloroacetic acid: do they affect fetal rat
2 heart development? *Int J Toxicol.* 2001;20(5):257-267.
- 3 49 Warren DA, Graeter LJ, Channel SR, Eggers JS, Goodyear CD, Macmahon KL et al.:
4 Trichloroethylene, trichloroacetic acid, and dichloroacetic acid: do they affect eye
5 development in the Sprague-Dawley rat? *Int J Toxicol.* 2006;25(4):279-284.
- 6 50 Singh R: Neuroembryopathic effect of trichloroacetic acid in rats exposed during
7 organogenesis. *Birth Defects Res B Dev Reprod Toxicol.* 2006;77(1):47-52.
- 8 51 Johnson PD, Dawson BV, Goldberg SJ: Cardiac teratogenicity of trichloroethylene
9 metabolites. *Journal of the American College of Cardiology* 1998;32(2):540-545.
- 10 52 Saillenfait AM, Langonne I and Sabaté JP: Developmental toxicity of trichloroethylene,
11 tetrachloroethylene and four of their metabolites in rat whole embryo culture. *Arch.*
12 *Toxicol.* 1995;70:71-82.
- 13 53 Hunter III E.S, E.H Rogers, JE. Schmid and A Richard: Comparative effects of
14 haloacetic acids in whole embryo culture. *Teratology* 1996;54:57-64.
- 15 54 Fu L, Johnson EM, Newman LM: Prediction of the developmental toxicity hazard
16 potential of halogenated drinking water disinfection by-products tested by the in vitro
17 hydra assay. *Regulatory Toxicology and Pharmacology* 1990;11:213-219.
- 18 55 Giller S, Le Curieux F, Erb F, Marzin D: Comparative genotoxicity of halogenated
19 acetic acids found in drinking water. *Mutagenesis* 1997;12(5):321-328.
- 20 56 Harrington-Brock K, Doerr CL, Moore MM: Mutagenicity of three disinfection
21 by-products: diand trichloroacetic acid and chloral hydrate in L5278Y/TK+/- -3.7.2C
22 mouse lymphoma cells. *Mutation Research.* 1998;413:265-276.
- 23 57 Mackay JM, Fox V, Griffiths K, Fox DA, Howard CA, Coutts C et al.: Trichloroacetic
24 acid investigation into the mechanism of chromosomal damage in the in vitro human
25 lymphocyte cytogenetic assay and the mouse bone marrow micronucleus test.
26 *Carcinogenesis* 1995;16(5): 1127-1133.
- 27 58 Plewa MJ, Kargalioglu Y, Vanker D, Minear RA and Wagner E.D: Mammalian cell
28 cytotoxicity and genotoxicity analysis of drinking water disinfection by-products.
29 *Environ. mol. Mutag.* 2002;40:134-142.
- 30 59 Rapson WH, Nazar MA, Butsky VV: Mutagenicity produced by aqueous chlorination of
31 organic compounds. *Bulletin of Environmental Contamination and Toxicology*
32 1980;24:590-596.
- 33 60 Kargalioglu Y, McMillan BJ, Minear RA and Plewa MJ: Analysis of the cytotoxicity
34 and mutagenicity of drinking water disinfection by-products in *Salmonella*
35 *typhimurium*. *Teratog. Carcinog. Mutag.* 2002;22:113-128.
- 36 61 Nelson GM, Swank AE, Brooks L.R, Bailey KC and George SE: Metabolism, microflora
37 effects, and genotoxicity in haloacetic acid-treated cultures of rat cecal microbiota.

- 1 Toxicol. Sci. 2001;60:232-241.
- 2 62 DeMarini DM, Perry EP, Sheldon ML: Dichloroacetic acid and related compounds:
3 Induction of prophage in *E. coli* and mutagenicity and mutation spectra in *Salmonella*
4 TA 100. *Mutagenesis* 1994;9:429-437.
- 5 63 Shirasu Y, Moriya M, Kato K, Furuhashi A and Kada T: Mutagenicity screening of
6 pesticides in the microbial system. *Mutat. Res.* 1976;40:19-30.
- 7 64 Waskell L: A study of the mutagenicity of anesthetics and their metabolites. *Mutat.*
8 *Res.* 1978;57:141-153.
- 9 65 Nestmann E.R, Chu I, Kowbel DJ and Matula TI: Short-lived mutagen in *Salmonella*
10 produced by reaction of trichloroacetic acid and dimethyl sulphoxide. *Can. J. Genet.*
11 *Cytol.* 1980;22:35-40.
- 12 66 Moriya M, Ohta T, Watanabe K, Miyazawa T, Kato K and Shirasu Y: Further
13 mutagenicity studies on pesticides in bacterial reversion assay systems. *Mutat. Res.*
14 1983;116:185-216.
- 15 67 Chang LW, Daniel FB, DeAngelo AB: Analysis of DNA strand breaks induced in rodent
16 liver in vivo, hepatocytes in primary culture, and a human cell line by chloroacetic
17 acids and chloroacetaldehydes. *Environmental and Molecular Mutagenesis*
18 1991;20:277-288.
- 19 68 Nelson MA and Bull RJ: Induction of strand breaks in DNA by trichloroethylene and
20 metabolites in rat and mouse liver in vivo. *Toxicology & Applied Pharmacology*
21 1988;94:45-54.
- 22 69 Nelson MA, Lansing AJ, Sanchez IM, Bull RJ and Springer DL: Dichloroacetic acid
23 and trichloroacetic acid-induced DNA strand breaks are independent of peroxisome
24 proliferation. *Toxicology* 1989;58:239-248.
- 25 70 Bhunya SP and Behera BC: Relative genotoxicity of trichloroacetic acid (TCA) as
26 revealed by different cytogenetic assays: Bone marrow chromosome aberration,
27 micronucleus and spermhead abnormality in the mouse. *Mutation Research*
28 1987;188:215-221.
- 29 71 Moy LS, Peace S, Moy RL: Comparison of the effect of various chemical peeling agents
30 in a mini-pig model. *Dermatologic Surgery* 1996;22(5):429-432.
- 31 72 Tse Y, Ostad A, Lee H, Levine VJ, Kamino H: A clinical and histologic evaluation of
32 two medium-depth peels: glycolic acid versus Jessner's trichloroacetic acid.
33 *Dermatologic Surgery* 1996;22:781-786.
- 34 73 Nunns D and Mandal D: Tri-chloroacetic acid: a cause of vulvar vestibulitis. *Acta*
35 *Dermato-Venereologica* 1996;76:334.
- 36 74 日本水道協会: 水道統計 平成 19 年度版. 2007